

京沪高速公路公司

正会員。前原

博

吉 11

詩川

卷之三

1. まえがき

都市内の高速道路を走行する車両によって発生する振動について、これまでいろんな測定がなされたり、また防振対策工がなされたりしている。しかし高架道路周辺での交通振動については、走行車両—高架構造物—地盤—受振家屋といった全体系の連成振動の現象としてとらえる必要があるといわれており、まだ振動特性が十分把握されたとはいえない現状である。また最近の測定結果によると、鉛直振動のみならず水平振動も同様度発生しているという結果が指摘されておる。そこで、これらの複雑な全体系の振動を橋脚と地盤に着目し、単純化して模型実験を行うことを計画した。実験用に作成する模型体は1/10として、振動の基本的な振動特性や発生機構について調べること、防振対策工の効果を調べること、また基礎と地盤の相互作用的な問題を検討することを目的として実験を実施した。本文はこの実験の概要と代表的な例について述べる。

2. 对象桥脚与相似则

対象橋脚としては大阪地盤にかける標準的なT型PC单柱橋脚を選んだ。上部工はスパン25m、幅員19.6mの単純合成工桁である。模型と実物の相似則は表-1に示すように振動現象を支配しておる物理法則から求めた。実橋脚からび模型の目標諸元を表-2に示す。地盤につけても代表的な波浪速度を設定しモデル化を行った。表乃是沖積層を、支持層は陥没層を想定したものである。

3. 模型橋脚と模型地盤

実橋脚の脚柱、フーチングと杭、弾性定数をそれぞれ、 3.0×10^5 、 2.7×10^5 (kg/cm^2)、ボアソン比を $1/3$ として、單一系としての固有振動数を計算で求めた。模型体は四つ化工チレン樹脂で作成し、振動台上より單一系としての振動数が合うよう、断面を少し修正して作成した。なお杭は実橋では8本だが模型では4本とし、上部工は重量のみ考慮して模型を单纯化した。

模型地盤はせん断波速度が目標値に合うように、アクリルアミド系ゲラウト剤(日東SS-30), ベントナイト, 硅藻土および砂を用いて予備的配合試験を行った。使用配合を表した。表-3 は使用配合表である。模型地盤の大きさは反射波の影響を少なくてすため、長さ2.5m, 幅3m, 深さ62.5cmとした。周辺部は厚さ10cm, 底面下厚さ20cmの砂で置換した。

図-1 は模型地盤からび構脚の断面と主要計器の配置図である。測定器具は超小型圧電型の加速度計(IVM社製,TM-4132, 振動数領域1~500 Hz,寸

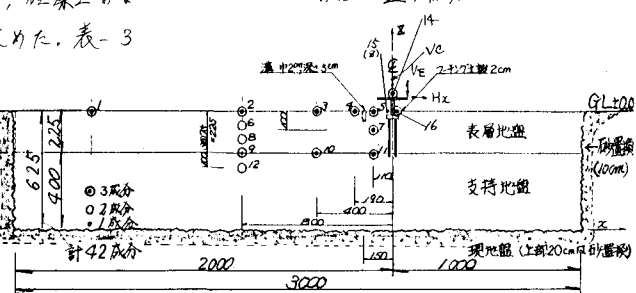
		実物想定値	模型目標値
量	相似比		
長さ・変位	1/100		
橋	橋長	1.5m, 1.5m, 8m	1.5m, 1.5m, 8m
フーチング	7m × 7m × 2m	7.7 m × 7.7 m × 2m	
脚	杭長	20m	20m
杭径	Φ1.0m	Φ1.0m	
表層度	密度	2.5t/m ³	2.2t/m ³
厚さ	22.5m	22.5m	
表層度	速度Vs	1.7km/s	1.5km/s
厚さ	300%	30%	
地盤	Vp	(1700 m)	(170 m)
比例尺	"	(0.45)	(0.45)
重量	固有振動数	2Hz	20Hz
ひずみ	40m	40m	
支持特	ホアンソン比	500%	50%
減衰定数	" Vp	(2.800 m)	(2.80 m)
加速度	アドバンス比	(0.40)	(0.40)
ひずみ	/	/	/

表-1. 相似比

表-2. 實物想定值
種類目標值

材 料	日S5.30	水	ベンズ外 スル	被覆上	砂	促進剤	開始剤	抑制剤
0.04% 重量比	1.5%	10%	10%	10.5%	40	50	40	
表層								
重量比	6.3	91.7	4.2	4.2	38.8	-	-	-
支持層	0.06% 重量比	2.1%	10%	12.4%	16.0%	40	50	40
	6.2	7.3	3.8	3.8	5.3	-	-	-

表-3. 模型地盤の配合



四一、連杆系模型振動実験(断面図)

底 $5 \times 5 \times 11.5$ mm, 重 18 kg) を使用し、設置に当ってはバルサ材を用いて密度を地盤の密度に近似させた。

4. 加振方法

模型橋脚に対する加振方法は、強制加振と衝撃型加振と定常型加振を行った。加振方向は橋脚頂部で、水平2方向 (H_x, H_y) と船直方向については橋脚中心 (T_c) と張出端部 (DE) の2ケース行つた。衝撃型加振は鋼球(直径14mm)を軽く衝突させた。定常型加振は小型電磁式加振機 (Vic社製, 1~2000Hz, 出力5kg)を別に設けた反力架に取付治具を用いて固定し、模型の梁上にアルミニウムで作成したコキクションホーフスを設けて、ゼアノ振子 (2d) で加振機と統合し振動を与えた。定常加振では応答加速度を制御して行つたが、途中から加振機の加振力を制御する方法に切替えて行つた。強制加振の他に模型を引張り、張り合を切断して自由振動実験を行つた。

5. 実験の種類と結果

実験は単一系模型と連成系模型にわかれている。単一系模型は振動系の構成要素別の固有振動数と固有モードを求めるもので、5ケース行つた。表-4はその実験ケースと固有振動数、測定結果である。また模型橋脚の天端には上部工重量 (404kg) と梁自重 (127kg) の重量に相似する荷重 (アルミボックス202g, T型架/81kg, 付加荷重60g) の他に固有周期調整用付加荷重 (60g) を取りつけた。

連成系模型の実験では模型橋脚を図-1のようになびき設置した場合を基本系 (C-1) とし、それ以外に防振対策工として盛土 (C-3; 高さ2cm, 長さ・幅各16cm, $\gamma=2.09\text{kg}/\text{m}^3$ の上載

荷重とのせたもの), 側面土除去 (C-2; 深さ4cmのフーリング下面まで長さ・幅各16cm分の土を除去), 根固め (C-4; 側面土除去部分に $\gamma=2.09\text{kg}/\text{m}^3$ の材料を埋めたもの), および防振溝 (C-5; 中心より15cmの所に幅2cm, 深さ5cmの空堀を切削したもの) の4ケースについて実験を行い結果を比較することとした。表-5は水平自由振動の結果をまとめたものである。表-6は水平定常加振時の橋脚上端の固有振動数をまとめたものである。表-5と6を較べると固有振動数に差が生じており、自由振動の場合は定常加振の場合より変化が大きかっただけと思われる。各防振対策工は現実の施工性を考慮し、その極端な場合を想定して模型に対策を講じたものである。基本系の結果に較べて少し固有振動数が変わつてはいるが、実橋換算してみると振動数の変化はわざかなものになっている。振動しつづくT型单旋橋脚に対する固有周期を変える対策としては効果的ではないと予想される。

図-2と表-7は基本系 (C-1) の地表面上の測点5, 4, 3での定常加振時の結果の一例である。各測点は橋脚中心より11, 19, 40cm離れた点である。図-2は水平加振時の水平方向振動成分の実験曲線である。表-7は水平および偏心鉛直加振時の結果である。水平加振時の結果には固有振動数は異つてはいるが、船直振動はかなり大きくなつてゐる。逆の場合の偏心鉛直加振時の水平振動はあまり生じてない。

本文では実験結果の一部を述べたが、他の機会にてデータの整理結果や実験における観測値との比較などを含めて報告したい。

本実験の遂行にあたり、京都大学防災研究所の土岐教授とはじめ関係の方々の御助言と御協力を得ることができましたこと、実験および解説の実施を担当された奥村組技術研究所の方々に深く感謝の意を表します。

単一系模型(盛土)	
A-1	側面土+上載重量
	23 (Hz)
A-2	7.4J+杭
	8 "
A-3	7.0J+杭+側面土
	4 "
B-1	支持板
	30 °
B-2	2万系地盤
	15 "

表-4. 単一系模型の固有振動数

水平方向の 自由振動	C-1 基本系	C-2 側面土除去	C-3 盛土	C-4 根固め	C-5 防振溝
	f (Hz)	f (Hz)	f (Hz)	f (Hz)	f (Hz)
橋脚上	22	2.8	1.9	2.4	2.1
フーリング	16	2.2	3.2	1.8	3.5
地盤	5	2.2	2.8	-	-
	4	2.2	3.1	-	-
	3	2.2	3.4	-	-
				2.1	2.5
				3.7	3.2
				2.5	2.5
				2.1	2.1
				-	-
				-	-

表-5. 振動特性の比較 f: 固有振動数, f: 振幅減衰率

連成系模型(盛土)	固有振動数
C-1 基本系(地盤調査)	35 (Hz)
C-2 側面土除去	25 "
C-3 盛土	35 "
C-4 根固め	20 "
C-5 防振溝	35 "

表-6. 共振振動数の比較

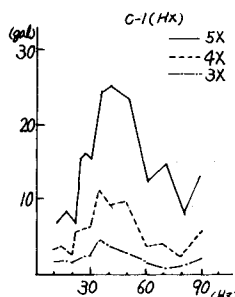


図-2. 振動の共振曲線

地盤上 測点	水平加振 (H_x)		偏心鉛直加振 (V_E)	
	加速度 (m/s ²)	固有振動数 (Hz)	加速度 (m/s ²)	固有振動数 (Hz)
水	5X 27.2	CHS	3.3	CHS
	4X 11.7	35	1.2	35
	3X 4.7	"	0.6	"
平	5X 15.0	"	2.8	"
	4X 8.4	60	4.9	60
	3X 4.4	"	2.9	"

表-7. 加振法による比較